# **——— ХИМИЧЕСКАЯ ФИЗИКА НАНОМАТЕРИАЛОВ ——**

УЛК 538.935

# КИНЕТИКА РАСПАДА ВОЗБУЖДЕННОГО СИНГЛЕТНОГО СОСТОЯНИЯ В ПЛЕНКАХ РУБРЕНА С ОБРАЗОВАНИЕМ ПАР Т-ЭКСИТОНОВ. МЕХАНИЗМ И ПРОЯВЛЕНИЕ МИГРАЦИИ ЭКСИТОНОВ

© 2023 г. А. И. Шушин<sup>1\*</sup>, С. Я. Уманский<sup>1</sup>, Ю. А. Чайкина<sup>1</sup>

<sup>1</sup>Федеральный исследовательский центр химической физики им. Н.Н. Семёнова, Российской академии наук, Москва, Россия

\*E-mail: shushin@chph.ras.ru
Поступила в редакцию 01.09.2022;
после доработки 13.10.2022;
принята в печать 20.10.2022

Проведен анализ кинетики распада (расщепления) синглетного возбужденного состояния  $S_1^*$  молекул рубрена на пару триплетных (T) экситонов в его пленках. В анализе кинетика описывалась в терминах кинетики спада флуоресценции (КСФ) из  $S_1^*$ -состояния —  $p_s(t)$ . Последняя, как известно, существенно контролируется процессами диффузионной миграции и аннигиляции T-экситонов. Рассмотрены две модели миграции: модель двух состояний (МДС), трактующая эффект миграции как результат переходов между [TT]-состоянием связанных экситонов (на малых T—T-расстояниях r) и [T+T]-состоянием мигрирующих экситонов (на больших r), а также модель свободной миграции (МСМ), пренебрегающая эффектом [TT]-состояния. В рамках МДС и МСМ получены выражения для  $p_s(t)$ , использованные далее при описании КСФ  $p_s^{exp}(t)$ , измеренной в аморфных пленках рубрена. Показано, что в исследованном диапазоне времен: 0.4-200 нс, МДС воспроизводит поведение  $p_s^{exp}(t)$  заметно точнее, чем МСМ. При бо́льших  $t \gtrsim 10^3$  нс предсказывается заметное различие ( $\gtrsim 25\%$ ) между  $p_s^{exp}(t)$  и МСМ-вариантом  $p_s(t)$ , лежащее за пределами ошибки измерения  $p_s^{exp}(t)$  ( $\lesssim 3\%$ ).

Ключевые слова: распад синглета, триплет-триплетная аннигиляция.

DOI: 10.31857/S0207401X23120105, EDN: XTMPPU

## 1. ВВЕДЕНИЕ

Распад возбужденного синглетного состояния на пару триплетных (T) экситонов (TT-пару) является важным фотофизическим процессом, оказывающим серьезное влияние на фотоэлектрические и спинтронные свойства органических полупроводников, в частности на спад быстрой флуоресценции [1-3]. Эксперименты по изучению этого процесса активно проводятся в течение многих лет [1-3]. Интенсивные экспериментальные исследования обуславливают большой интерес к развитию теории для их описания [3-10].

Теоретический анализ характерных свойств кинетики распада синглетного состояния обычно проводятся в рамках общей кинетической схемы:

$$S_{0} + S_{0} \xleftarrow{k_{r}} S_{0} + S_{1}^{*} \xleftarrow{k_{s}}$$

$$\longleftrightarrow [TT] \xleftarrow{k_{e}} [T + T],$$

$$(1)$$

в которой все стадии традиционно трактуются как реакции первого порядка. Первичная стадия распада представляет собой переход (с константой скорости  $k_{-s}$ ) из возбужденного состояния

 $(S_0 + S_1^*)$  в промежуточное [TT]-состояние (далее называемое c-состоянием) пары взаимодействующих T-экситонов в синглетном состоянии. Эволюция [TT]-состояния определяется TT-аннигиляцией, диссоциацией в состояние свободных T-экситонов, обозначаемое [T+T]-состоянием (а также e-состоянием), и обратным захватом в [TT]-состояние со скоростями  $k_s, k_e$  и  $k_{-e}$  соответственно. Распад  $S_1^*$ -состояния сопровождается также дезактивацией состояния со скоростью  $k_r$ .

Помимо общей схемы часто обсуждается также ее упрощенный вариант, в котором [TT]-состояние отсутствует, т.е. предполагается, что распад  $(S_0 + S_1^*)$ -состояния осуществляется напря-

мую в состояние [T+T] и обратно со скоростями  $k_{-s}$  и  $k_s$  соответственно. Анализ распада в рамках этой упрощенной схемы, показанной ниже (см. схему (11)), будет представлена ниже в п. 2.2.

Наблюдаемой традиционно является кинетическая зависимость  $I_{S_1}(t)$  спада флуоресценции (КСФ) из  $S_1^*$ -состояния. В нашей работе мы будем анализировать нормированную (экспериментально измеренную) КСФ  $p_s^{exp}(t) = I_{S_1}(t)/I_{S_1}(0)$ , которая целиком определяется временной зависимостью заселенности  $p_s(t)$   $S_1^*$ -состояния (для которой  $p_s(0)=1$ ), поскольку  $I_{S_1}(t)=k_rp_s(t)$ , и, следовательно  $p_s^{exp}(t)=p_s(t)$ . В соответствии с этой формулой особенности кинетики  $S_1^*$ -распада будут в дальнейшем анализироваться путем сравнения экспериментальной КСФ  $p_s^{exp}(t)$  с рассчитанной функцией  $p_s(t)$ , которая в дальнейшем будет называться теоретической КСФ.

Детальные теоретические исследования кинетики  $S_1^*$ -распада (1) проведены в большом количестве работ [1—5]. Следует заметить, однако, что большинство экспериментальных результатов интерпретировалось с использованием вышеупомянутой упрощенной экспоненциальной модели (1) [3, 4, 11—13].

В данной работе в рамках более корректных моделей двух состояний (МДС) [14–16] (см. п. 2.1), а также в рамках традиционной модели свободной Т-миграции (МСМ) (см. п. 2.2) мы проведем сравнительный анализ кинетики  $S_1^*$ -распада и КСФ, экспериментально измеренной в аморфных пленках рубрена [11], в широком диапазоне исследованных времен.

## 2. МОДЕЛИ РАСПАДА СИНГЛЕТНОГО СОСТОЯНИЯ

#### 2.1. Модель двух состояний

В обобщенной МДС (для процесса (1)) первая стадия,  $\left(S_0 + S_1^*\right) \leftrightarrow [TT]$ , трактуется как реакция первого порядка. Вторая же стадия,  $[TT] \leftrightarrow [T+T]$ , интерпретируется в приближении двух состояний, развитом ранее для описания диффузионного выхода частицы из потенциальной ямы [14—16]. В этом приближении пространственная эволюция TT-пар моделируется переходами между двумя состояниями: промежуточным [TT]-состоянием (в области потенциальной ямы) взаимодействующих экситонов и [T+T]-состоянием свободно диффундирующих T-экситонов.

В МДС зависящая от времени заселенность  $p_s(t)$  состояния  $S_1^*$  контролируется пространственно-временной эволюцией ТТ-пар в [ТТ]- и [Т+Т]-состояниях, описываемой заселенностями  $\sigma(t)$  и  $\rho(r,t)$  этих двух состояний соответственно (r- межэкситонное расстояние). Рассматриваемые заселенности удовлетворяют стохастическому уравнению Лиувилля [17], которое в МДС записывается в форме трех связанных уравнений [14—16]:

$$\dot{p}_{s} = -(k_{r} + k_{-s}) p_{s} + k_{s} \sigma,$$
 (2)

$$\dot{\sigma} = -(k_s + K_-)\sigma + S_l(K_+ l)\rho_l + k_{-s}p_s, \tag{3}$$

$$\dot{\rho} = -\hat{\mathbf{L}}_{r}\rho + \left[S_{l}^{-1}K_{-}\sigma - (K_{+}l)\rho_{l}\right]\delta(r-l), \qquad (4)$$

где  $S_l = 4\pi l^2$ ,  $\hat{\mathbf{L}}_r = -D_r r^{-2} \partial_r \left( r^2 \partial_r \right)$  — радиальная часть оператора диффузии (с коэффициентом относительной диффузии  $D_r$ ) и  $\rho_l(t) = \rho(l,t)$ .

Члены, пропорциональные скоростям  $K_{\pm}$ , представляют вышеупомянутые переходы между [TT]-состоянием внутри ямы радиусом l и [T+T]-состоянием свободной Т-диффузии вне ямы. В используемой МДС мы рассмотрим реалистичный предел быстрых переходов, т.е. больших  $K_{\pm}$ , в котором

$$K_{\pm} \rightarrow \infty$$
,  $K_{-}/K_{+} = K_{eq} = l^{3}/Z_{w} \sim \exp(-\varepsilon_{c}/(k_{B}T))$ . (5)

$$Z_{w} = \int_{r-l} dr r^{2} \exp(-U(r)/k_{B}T) \sim l^{2} \lambda \exp(\varepsilon_{c}/k_{B}T)$$

— статистическая сумма состояний в яме потенциала ТТ-взаимодействия U(r) глубиной  $\varepsilon_c$ , радиусом l (радиусом дна ямы) и шириной  $\lambda \lesssim l$ , определяемой соотношением  $U(l\pm \lambda/2) - U(l) \approx k_B T$  [15, 16]. Выражение (5) представляет собой формулировку принципа детального равновесия [16], в котором константа равновесия  $K_{eq}$  будет рассматриваться как подгоночный параметр.

Схема (1) подразумевает для уравнений (2)—(4) начальные условия в виде

$$p_{s}(t=0) = 1, \ \sigma(t=0) = \rho(r,t=0) = 0.$$
 (6)

Уравнение (4) необходимо решать с граничным условием полного отражения для  $\rho(r,t)$  при r=l:  $\partial_r \rho|_{r=l} = 0$ .

Решение уравнений может быть получено путем преобразования Лапласа, определяемого для произвольной функции  $\varphi(t)$  как

$$\tilde{\varphi}(\epsilon) = \int_{0}^{\infty} dt \varphi(t) e^{-\epsilon t} \quad \text{if} \quad \varphi(t) = \frac{1}{2\pi i} \int_{-i\infty}^{i\infty} d\epsilon \tilde{\varphi}(\epsilon) e^{\epsilon t}.$$

В частности, для  $\tilde{p}_s(\epsilon)$  получаем

$$\tilde{p}_{s}(\epsilon) = \tilde{p}_{s}^{c}(\epsilon) = \left[\epsilon + k_{rs} - (k_{-s}k_{s})G_{c}(\epsilon)\right]^{-1}.$$
 (7)

В этой формуле  $k_{rs} = k_r + k_{-s}$  и

$$G_c(\epsilon) = \left[\epsilon + k_s + K_e(\epsilon)\right]^{-1} \tag{8}$$

 образ Лапласа функции эволюции для [TT]-состояния (т.е. с-состояния), распадающегося с эффективной скоростью

$$K_e(\epsilon) = k_e + \mathfrak{X}_e(\epsilon),$$
 (9)

где  $\mathfrak{X}_{\varrho}(\epsilon) = \xi_{\varrho}(k_{\varrho}\epsilon)^{1/2}$ .

Поведение  $K_e(\epsilon)$  определяется величиной двух параметров

$$k_e = k_D (l^3 / Z_w), \quad \xi_e = (k_e / k_D)^{1/2},$$
 (10)

где  $k_D = D_r/l^2$ .

Скорость  $K_e(\epsilon)$  существенно определяет кинетику диффузионно-ассистируемой ТТ-аннигиляции [12] и, следовательно, КСФ  $p_s(t) = p_s^c(t)$ . Стоит обратить внимание на функцию  $\mathfrak{E}_e(\epsilon)$  (см. (9)), которая обуславливает обратностепенное  $(p_s^c(t) \sim t^{-3/2})$  поведение КСФ на больших временах. Заметим также, что  $\mathfrak{E}_e(\epsilon)$  растет с увеличением  $\xi_e$ , приводя к большой величине эффекта Т-миграции в КСФ в случае  $\xi_e > 1$ , реализующемся в пределе малой глубины потенциальной ямы ТТ-взаимодействия в [ТТ]-состоянии [14—16].

## 2.2. Модель свободной миграции Т-экситонов

Модель свободной миграции Т-экситонов, часто используемая для качественного описания КСФ [1—3], представляет собой упрощенный вариант общей модели (1) (рассмотренной в п.2.1), в которой пренебрегается влиянием связанного [ТТ]-состояния на КСФ. В этом случае процесс формирования КСФ представляется кинетической схемой

$$S_0 + S_0 \xleftarrow{k_r} S_0 + S_1^* \xrightarrow{k_s} [T + T], \qquad (11)$$

и описывается парой кинетических уравнений, схожих с уравнениями (3) и (4):

$$\dot{p}_s = -\left(\overline{k}_r + \overline{k}_{-s}\right) p_s + \left(\overline{k}_s l\right) S_l \rho_l, \tag{12}$$

$$\dot{\rho} = -\hat{\mathbf{L}}_r \rho + \left[ S_l^{-1} \overline{k}_{-s} p_s - \left( \overline{k}_s l \right) \rho_l \right] \delta(r - l), \qquad (13)$$

в которых  $\overline{k}_{-s}$  и  $\overline{k}_s$  — эффективные константы скорости процессов генерации ТТ-пар и их аннигиляции соответственно. Решение этих уравнений

приводит к выражению для образа Лапласа КСФ, аналогичному формуле (7):

$$\tilde{p}_{s}(\epsilon) = \tilde{p}_{s}^{d}(\epsilon) = \left[\epsilon + \overline{k}_{rs} - \left(\overline{k}_{-s}\overline{k}_{s}\right)G_{d}(\epsilon)\right]^{-1}, \quad (14)$$

в котором  $\overline{k}_{rs} = \overline{k}_r + \overline{k}_{-s}$  и

$$G_d(\epsilon) = \left[k_s + K_d(\epsilon)\right]^{-1}.$$
 (15)

В выражении (15)  $K_d(\epsilon)$  определяется как

$$K_d(\epsilon) = k_D \left[ 1 + (\epsilon/k_D)^{1/2} \right], \tag{16}$$

где  $k_D = D_r/l^2$ .

Формулы (14)—(16) предсказывают КСФ  $p_s(t) = p_s^d(t)$ , отличающуюся от функции  $p_s(t) = p_s^c(t)$ , получаемой с использованием выражений (7)—(9), хотя на малых временах  $t \lesssim k_{rs}^{-1}$ ,  $\overline{k}_{rs}^{-1}$  (напомним, что  $k_{rs} = k_r + k_{-s}$ ) и при асимптотически больших  $t \gg k_{rs}^{-1}$ ,  $k_D^{-1}$  поведение зависимостей  $p_s(t)$ , найденных в рамках обеих моделей, оказывается схожим: экспоненциальным на малых временах и обратностепенным:  $p_s(t) \sim t^{-3/2}$ , на больших. Важное отличие МСМ от МДС, однако, наблюдается на относительно малых временах перехода от экспоненциальной стадии КСФ к обратностепенной, что будет предметом обсуждения в разд. 3.

### 3. РЕЗУЛЬТАТЫ И ИХ ОБСУЖДЕНИЕ

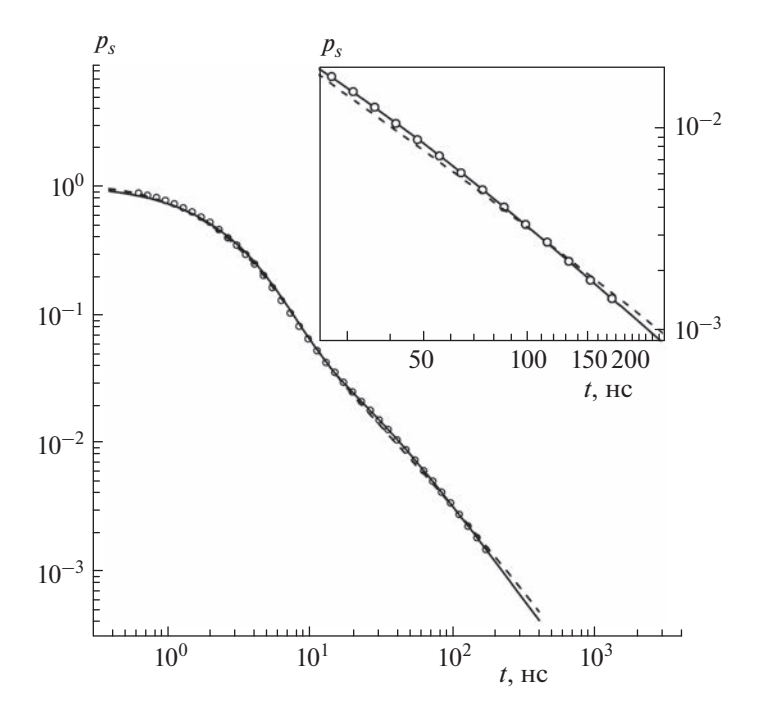
Выражения, полученные в рамках двух моделей, МДС и МСМ, представляют большой интерес для описания кинетики спада флуоресценции из  $S_1^*$ -состояния в процессе распада (с образованием ТТ-пар), представленном на схеме (1). В дальнейшем обсуждении МДС и МСМ будут использованы для анализа КСФ в аморфных пленках рубрена, недавно измеренной с высокой точностью [11]. Сравнение экспериментальной КСФ с теоретическими МДС- и МСМ-зависимостями  $p_s(t)$  даст возможность сделать вывод о реальном механизме эффекта относительной миграции Т-экситонов в формировании КСФ.

В рамках вышерассмотренных моделей (МДС и МСМ) выражения для КСФ  $\tilde{p}_s(\epsilon)$  представляются следующими формулами:

$$\tilde{p}_{s}(\epsilon) = \tilde{p}_{s}^{c}(\epsilon) = \left[\epsilon + k_{rs} - \frac{k_{-s}k_{s}}{\epsilon + k_{s} + k_{e} + \xi_{e}(k_{e}\epsilon)^{1/2}}\right]^{-1} (17)$$

— в МДС, причем  $k_{rs} = k_r + k_{-s}$  (см. также (9) и (10));

$$\tilde{p}_{s}(\epsilon) = \tilde{p}_{s}^{d}(\epsilon) = \left[\epsilon + \overline{k}_{rs} - \frac{\overline{k}_{-s}\overline{k}_{s}}{\overline{k}_{s} + k_{D} + (k_{D}\epsilon)^{1/2}}\right]^{-1}$$
(18)



**Рис. 1.** Подгонка экспериментальной КСФ  $p_s^{exp}(t)$ , измеренной в аморфной пленке рубрена [11] (кружки), к теоретическим КСФ  $p_s(t) = p_s^v(t)$ , рассчитанным в рамках МДС (v = c) — сплошная линия и МСМ (v = d) — штриховая линия с использованием формул (17), (18) и значений:  $k_{rs} = 0.37~{\rm Hc}^{-1}$  и  $\overline{k}_{rs} = 0.48~{\rm Hc}^{-1}$ , а также  ${\bf Z} = (0.80; 0.16; 0.14; 1.7)$  и  ${\bf Z} = (0.96; 0.060; 0.046)$  — см. (19) и (20). На вставке представлены те же результаты в ограниченном диапазоне времен ( $25 \le t \le 200~{\rm hc}$ ), но в крупном масштабе, для более отчетливой демонстрации точности подгонки.

— в МСМ где  $\overline{k}_{rs} = \overline{k}_r + \overline{k}_{-s}$ . Остальные параметры определены в формулах (13) и (16).

Обратное преобразование Лапласа функций  $\tilde{p}_{s}^{v}(\epsilon)$ , где v=c,d, дает КСФ  $p_{s}^{v}(t)$ , которые демонстрируют существенный эффект свободной Т-миграции (в [T + T]-состоянии). Этот эффект проявляется, в частности, в медленной долговременной зависимости  $p_{s}^{v}(t) \sim t^{-3/2}$  [15, 16].

Расчет и анализ кинетических функций  $p_s^c(t)$  и  $p_s^d(t)$  проводился с использованием ряда параметров, которые трактовались как подгоночные: констант скоростей  $k_{rs}$  и  $\overline{k}_{rs}$  (в МДС и МСМ соответственно), а также ряда безразмерных параметров, для удобства представленных в виде векторов  $\mathbf{Z}$  и  $\overline{\mathbf{Z}}$  в двух упомянутых выше моделях:

$$\mathbf{Z} = (z_{-s}, z_{s}, z_{e}, \xi_{e}) \tag{19}$$

— в МДС с параметрами  $z_q = k_q/k_{rs}$ , где q = -s, s, e;

$$\overline{\mathbf{Z}} = (\overline{z}_{-s}, \overline{z}_{s}, \overline{z}_{D}) \tag{20}$$

— в МСМ, причем  $\overline{z}_q=\overline{k}_q/\overline{k}_{rs}$  (q=-s,s,e). В МДС и МСМ введем также параметры  $z_r=1-z_{-s}$  и  $\overline{z}_r=1-\overline{z}_{-s}$  .

На рис. 1 приведены теоретические зависимости  $p_s^c\left(t\right)$  и  $p_s^d\left(t\right)$ , наиболее точно воспроизводящие КСФ

$$p_s^{exp}(t) = I_{S_s}(t)/I_{S_s}(0),$$
 (21)

измеренную в аморфной пленке рубрена в широком диапазоне времен:  $0.4 \lesssim t \lesssim 200$  нс [11] (см. разд. 1). Использованные значения констант скоростей  $k_{rs}$  и  $\overline{k}_{rs}$ , а также параметров  $\mathbf{Z}$  и  $\overline{\mathbf{Z}}$  приведены в подписях к рис. 1. В дальнейшем мы не будем обсуждать конкретные значения параметров, сосредоточившись на анализе возможности однозначного выбора наиболее адекватной модели миграции  $\mathbf{T}$ -экситонов (МДС или МСМ) из сравнения расчетных КСФ-зависимостей  $p_s^c(t)$  и  $p_s^d(t)$  с экспериментальной КСФ  $p_s^{exp}(t)$ , определенной в (21).

На первый взгляд, обе функции,  $p_s^c(t)$  и  $p_s^d(t)$ , вполне удовлетворительно согласуются с  $p_s^{exp}(t)$ . Однако, как показывает детальный анализ, КСФ  $p_s^{exp}(t)$ , измеренной с высокой точностью  $(\delta_{exp} \lesssim 3\%,$  см. вставку на рис. 1), функция  $p_s^c(t)$ 

заметно точнее воспроизводит поведение  $p_s^{exp}(t)$ , особенно в области достаточно больших времен  $t \gtrsim 30$  нс перехода от экспоненциального к обратно-степенному поведению КСФ  $p_s^{exp}(t)$ . Это означает, что модель двух состояний (17), учитывающую эффект промежуточного [TT]-состояния (см. схему (1)), следует считать наиболее точной и реалистичной.

Убедительно продемонстрировать этот факт можно, используя функцию

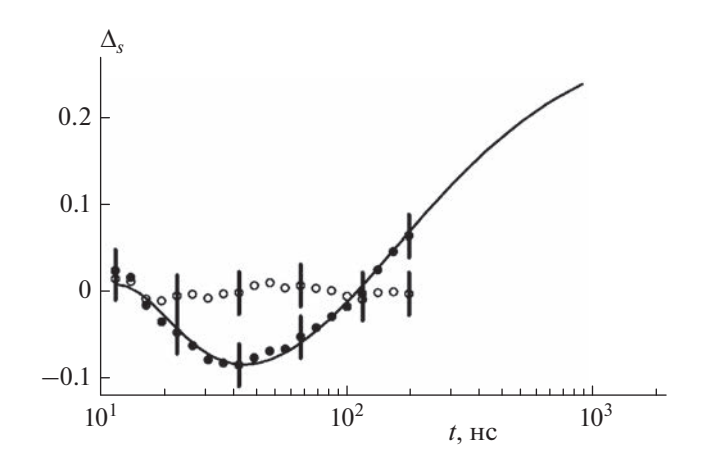
$$\Delta_s(t) = \Delta_s^v(t) = p_s^v(t)/p_s^{exp}(t) - 1$$
,  $v = c,d$ , (22) характеризующую относительное отклонение  $p_s^v(t) - p_s^{exp}(t) = \Delta_s^v(t) \, p_s^{exp}(t)$ . На рис. 2 приведены графики функций  $\Delta_s^c(t)$  и  $\Delta_s^d(t)$  в области времен  $30 \leq t \leq 200$  нс. Вертикальными отрезками на этих графиках указана ошибка  $\delta_\Delta$  рассчитанных функций  $\Delta_s^v(t)$  ( $\delta_\Delta \sim \delta_{exp} \lesssim 3\%$ ), обусловленная вышеупомянутой ошибкой ( $\delta_{exp}$ ) измерения КСФ  $p_s^{exp}(t)$  [11].

В терминах параметров  $\Delta_s^v(t)$  хорошее согласие теоретической и экспериментальной КСФ проявляется в малой абсолютной величине  $\Delta_s^v(t)$ . Сравнение рассчитанных отклонений  $\Delta_s^c(t)$  и  $\Delta_s^d(t)$  отчетливо демонстрирует, что в диапазоне времен  $30 \lesssim t \lesssim 200$  нс МДС-функция  $p_s^c(t)$  позволяет воспроизвести поведение измеренной КСФ  $p_s^{exp}(t)$  с заметно большей точностью, чем функция  $p_s^d(t)$ , предсказываемая МСМ, что выражается соотношением  $|\Delta_s^c(t)| \leqslant |\Delta_s^d(t)|$ . Это соотношение надежно соблюдается даже с учетом ошибки  $\delta_\Delta$  в оценке величин  $\Delta_s^c(t)$  и  $\Delta_s^d(t)$ , указанной на рис. 2.

С еще большей надежностью справедливость соотношения  $\left|\Delta_s^c(t)\right| \ll \left|\Delta_s^d(t)\right|$ , гарантирующего более высокую точность описания процесса (1) в рамках МДС (с использованием формулы (17)), могла бы быть зафиксирована при временах t>200 нс. В подтверждение этого заключения на рис. 2 дополнительно приведена вспомогательная функция

$$\Delta_s(t) = \Delta_s^{dc}(t) = p_s^d(t)/p_s^c(t) - 1 \approx \Delta_s^d(t),$$

рассчитанная в более широком диапазоне времен:  $30 \lesssim t < 10^3$  нс. Соотношение  $\Delta_s^{dc}(t) \approx \Delta_s^d(t)$  легко понять, принимая во внимание, что на этих временах с хорошей точностью  $p_s^c(t) \approx p_s^{exp}(t)$ . Предпола-



**Рис. 2.** Относительные отклонения  $\Delta_s(t) = \Delta_s^v(t)$  теоретических КСФ  $p_s^v(t)$ , v = c, d, от экспериментальной КСФ  $p_s^{exp}(t)$  (см. (22)), рассчитанные с использованием результатов, представленных на рис. 1. Отклонения  $\Delta_s^c(t)$  и  $\Delta_s^d(t)$  изображены светлыми и черными кружками соответственно. На графиках функций  $\Delta_s^c(t)$  и  $\Delta_s^d(t)$  короткие вертикальные линии обозначают ошибку рассчитанных отклонений (обусловленных ошибкой измерения  $p_s^{exp}(t)$  [11]). Сплошная линия — поведение относительного отклонения  $\Delta_s(t) = \Delta_s^{dc}(t) = p_s^d(t)/p_s^c(t)$  — 1 теоретических КСФ  $p_s^c(t)$  и  $p_s^d(t)$  в диапазоне времен  $30 \leq t < 10^3$  нс (см. разд. 3).

гая справедливость соотношения  $p_s^c(t) \approx p_s^{exp}(t)$  во всем диапазоне  $30 \lesssim t < 10^3$  нс, получаем приведенную на рис. 2 зависимость  $\Delta_s^{dc}(t) \approx \Delta_s^d(t)$ , демонстрирующую весьма существенное относительное отклонение  $p_s^d(t)$  от предполагаемой КСФ  $p_s^{exp}(t)$  при  $t \sim 10^3$  нс ( $\approx 25\%$ ), достигающее  $\sim 50\%$  при  $t \gg 10^3$  нс. Наблюдение подобных отклонений могло бы послужить однозначным доказательством применимости МДС для описания процесса (1) в аморфных молекулярных полупроволниках.

## 4. ЗАКЛЮЧЕНИЕ

В данной работе проанализированы две модели для описания кинетики расщепления возбужденного  $S_1^*$ -состояния на пару Т-экситонов (которая ассоциируется с кинетикой (1) спада  $S_1^*$ -флуоресценции  $p_s(t)$ ) в аморфных пленках молекулярных полупроводников: модель двух состояний и модель свободной миграции Т-экситонов,

подробно описанные в разд. 2. Существенным этапом анализа стала подгонка теоретических зависимостей (в рамках упомянутых двух моделей) к кинетической зависимости  $S_1^* \to [T+T]$ -расщепления  $p_s^{exp}(t)$ , измеренной в аморфных пленках рубрена в широком диапазоне времен:  $0.4 \lesssim t \lesssim 200$  нс [11]. Результаты такой подгонки показали, что МДС позволяет описать экспериментальную кинетику с заметно лучшей точностью, чем МСМ.

Высокая точность аппроксимации свидетельствует, что МДС, основанная на предположении о наличии квазистационарного [TT]-состояния в реакции  $S_1^*$ -расщепления  $S_1^* \to [T+T]$ , является наиболее реалистичной моделью исследуемого процесса (1). Показано также, что более высокая точность МДС особенно заметно проявляется на больших временах  $t \gtrsim 10^3$  нс, на которых отклонение КСФ, предсказываемой МСМ, от экспериментально полученной может превышать 25% (см. рис. 2), в отличие от МДС-варианта КСФ.

В заключение кратко обсудим возможную природу слабого ТТ-взаимодействия (ТТВ), наличие которого может привести к образованию промежуточного квазистационарного [ТТ]-состояния. Одной из причин возникновения эффективного ТТВ могут быть структурные особенности аморфной пленки рубрена в области локализации ТТ-пары. Дополнительный существенный вклад в ТТВ может обуславливаться ван-дер-ваальсовым взаимодействием молекул в возбужденном Т-состоянии (образующих ТТ-пары), которое, как ожидается, сравнимо с тепловой энергией вследствие высокой поляризуемости молекул рубрена (особенно в Т-состоянии) [2].

Необходимо также добавить, что при анализе кинетики процесса (1) мы пренебрегли спиновыми эффектами на стадии ТТ-аннигиляции, которые могут весьма существенно проявляться в КСФ [6, 10, 17–20]. В действительности, однако, в процессах в аморфных пленках эти эффекты во многих случаях пренебрежимо слабы вследствие быстрой спин-решеточной релаксации в Т-экситонах, приводящей к сильному уменьшению амплитуды спиновых эффектов. Соответствующие оценки для пленок рубрена приведены в работах [12, 20].

Работа выполнена при финансовой поддержке Министерством науки и высшего образования Российской Федерации в рамках госзадания (тема № AAAA-A19-119012890064-7).

## СПИСОК ЛИТЕРАТУРЫ

Smith M.B., Michl J. // Annu. Rev. Phys. Chem. 2013.
 V. 64. P. 361;

- https://doi.org/10.1146/annurev-physchem-040412-110130
- Casanova D. // Chem. Rev. 2018. V. 118. P. 7164; https://doi.org/10.1021/acs.chemrev.7b00601
- Miyata K., Conrad-Burton F.S., Geyer F.L. et al. // Chem. Rev. 2019. V. 84. P. 4261; https://doi.org/10.1021/acs.chemrev.8b00572
- 4. *Merrifield R.E.* // J. Chem. Phys. 1968. V. 48. P. 4318; https://doi.org/10.1063/1.1669777
- Suna A. // Phys. Rev. B. 1970. V. 1. P. 1716; https://doi.org/10.1103/PhysRevB.1.1716
- Konyaev S.N., Shushin A.I., Kolesnikova L.I. et al. // Phys. Stat. Sol. B. 1987. V. 142. P. 461.
- 7. *Tarasov V.V.*, *Zoriniants G.E.*, *Shushin A.I. et al.* // Chem. Phys. Lett. 1997. V. 267. P. 58; https://doi.org/10.1016/S0009-2614(97)00056-0
- 8. Ветчинкин А.С., Уманский С.Я., Чайкина Ю.А. и др. // Хим. физика. 2022. Т. 41. № 9. С. 72; https://doi.org/10.31857/S0207401X22090102
- Ryansnyanskiy A., Biaggio I. // Phys. Rev. B. 2011.
   V. 84. P. 193203; https://doi.org/10.1103/PhysRevB.84.193203
- Shushin A.I. // J. Chem. Phys. 2022. V. 156. P. 074703; https://doi.org/10.1063/5.0078158
- Piland G.B., Burdett J.J., Kurunthu D. et al. // J. Phys. Chem. C. 2013. V. 117. P. 1224; https://doi.org/10.1021/jp309286v
- 12. *Шушин А.И.* // Хим. физика. 2017. Т. 36. № 11. С. 17; https://doi.org/10.7868/S0207401X17110085
- 13. *Pilland G.B., Burdett J.J., Dillon R.J. et al.* // J. Phys. Chem. Lett. 2014. V. 5. P. 2312; https://doi.org/10.1021/jz500676c
- 14. *Shushin A.I.* // Chem. Phys. Lett. 1985. V. 118. P. 197; https://doi.org/10.1016/0009-2614(85)85297-0
- 15. *Shushin A.I.* // J. Chem. Phys. 1991. V. 95. P. 3657; https://doi.org/10.1063/1.460817
- Shushin A.I. // J. Chem. Phys. 1992. V. 97. P. 1954; https://doi.org/10.1063/1.463132
- 17. *Buchachenko A.L.* // Rus. J. Phys. Chem. B. 2022. V. 16. P. 9; https://doi.org/10.1134/S1990793122010031
- Buchachenko A.L., Kuznetsov D.A. // Rus. J. Phys. Chem. B. 2021. V. 15. P. 1; https://doi.org/10.1134/S1990793121010024
- 19. *Лундин А.А.*, *Зобов В.Е.* // Хим. физика. 2021. Т. 40. № 9. С. 41; https://doi.org/10.31857/S0207401X21090077
- 20. *Shushin A.I.* // Chem. Phys. Lett. 2017. V. 678. P. 283; https://doi.org/10.1016/j.cplett.2017.04.068